

如果被控对象的数学模型已知,滑模控制器可以使系统输出直接跟踪期望指令,但较大的建模不确定性需要较大的切换增益,这就造成抖振,抖振是滑模控制中难以避免的问题。

将滑模控制结合神经网络逼近用于非线性系统的控制中,采用神经网络实现模型未知部分的自适应逼近,可有效地降低模糊增益。神经网络自适应律通过 Lyapunov 方法导出,通过自适应权重的调节保证整个闭环系统的稳定性和收敛性。

RBF 神经网络于 1988 年提出。相比多层前馈 BP 网络,RBF 网络由于具有良好的泛化能力,网络结构简单,避免不必要的冗长的计算而备受关注。关于 RBF 网络的研究表明 RBF 神经网络能在一个紧凑集和任意精度下,逼近任何非线性函数^[1]。目前,已经有许多针对非线性系统的 RBF 神经网络控制研究成果发表。

3.1 一种简单的 RBF 网络自适应滑模控制

3.1.1 问题描述

考虑一种简单的动力学系统:

$$\ddot{\theta} = f(\theta, \dot{\theta}) + u \quad (3.1)$$

其中, θ 为转动角度, u 为控制输入。

写成状态方程形式为

$$\begin{cases} \dot{x}_1 = x_2 \\ \dot{x}_2 = f(x) + u \end{cases} \quad (3.2)$$

其中, $x_1 = \theta$, $x_2 = \dot{\theta}$, $f(x)$ 为未知。

角度指令为 x_d , 则误差及其导数为

$$e = x_1 - x_d, \quad \dot{e} = x_2 - \dot{x}_d$$

定义滑模函数

$$s = ce + \dot{e}, \quad c > 0 \quad (3.3)$$

则

$$\dot{s} = c \dot{e} + \ddot{e} = c \dot{e} + \dot{x}_2 - \ddot{x}_d = c \dot{e} + f(x) + u - \ddot{x}_d$$

由式(3.3)可见,如果 $s \rightarrow 0$,则 $e \rightarrow 0$ 且 $\dot{e} \rightarrow 0$ 。

3.1.2 RBF 网络原理

由于 RBF 网络具有万能逼近特性^[1],采用 RBF 神经网络逼近 $f(x)$,网络算法为

$$h_j = \exp\left(\frac{\|\mathbf{x} - \mathbf{c}_j\|^2}{2b_j^2}\right) \quad (3.4)$$

$$f = \mathbf{W}^{*T} \mathbf{h}(\mathbf{x}) + \epsilon \quad (3.5)$$

其中, \mathbf{x} 为网络的输入, j 为网络隐含层第 j 个节点, $\mathbf{h} = [h_j]^T$ 为网络的高斯基函数输出, \mathbf{W}^* 为网络的理想权值, ϵ 为网络的逼近误差, $\epsilon \leq \epsilon_N$ 。

网络输入取 $\mathbf{x} = [x_1 \ x_2]^T$,则网络输出为

$$\hat{f}(\mathbf{x}) = \hat{\mathbf{W}}^T \mathbf{h}(\mathbf{x}) \quad (3.6)$$

3.1.3 控制算法设计与分析

由于 $f(x) - \hat{f}(x) = \mathbf{W}^{*T} \mathbf{h}(\mathbf{x}) + \epsilon - \hat{\mathbf{W}}^T \mathbf{h}(\mathbf{x}) = -\tilde{\mathbf{W}}^T \mathbf{h}(\mathbf{x}) + \epsilon$ 。

定义 Lyapunov 函数为

$$V = \frac{1}{2}s^2 + \frac{1}{2\gamma} \tilde{\mathbf{W}}^T \tilde{\mathbf{W}} \quad (3.7)$$

其中, $\gamma > 0$, $\tilde{\mathbf{W}} = \hat{\mathbf{W}} - \mathbf{W}^*$ 。

则

$$\begin{aligned} \dot{V} &= s \dot{s} \frac{1}{\gamma} \tilde{\mathbf{W}}^T \dot{\hat{\mathbf{W}}} \\ &= s(c \dot{e} + f(x) + u - \ddot{x}_d) + \frac{1}{\gamma} \tilde{\mathbf{W}}^T \dot{\hat{\mathbf{W}}} \end{aligned}$$

设计控制律为

$$u = -c \dot{e} - \hat{f}(x) + \ddot{x}_d - \eta \operatorname{sgn}(s) \quad (3.8)$$

则

$$\begin{aligned} \dot{V} &= s(f(x) - \hat{f}(x) - \eta \operatorname{sgn}(s)) + \frac{1}{\gamma} \tilde{\mathbf{W}}^T \dot{\hat{\mathbf{W}}} \\ &= s(-\tilde{\mathbf{W}}^T \mathbf{h}(\mathbf{x}) + \epsilon - \eta \operatorname{sgn}(s)) + \frac{1}{\gamma} \tilde{\mathbf{W}}^T \dot{\hat{\mathbf{W}}} \\ &= \epsilon s - \eta |s| + \tilde{\mathbf{W}}^T \left(\frac{1}{\gamma} \dot{\hat{\mathbf{W}}} - s \mathbf{h}(\mathbf{x}) \right) \end{aligned}$$

取 $\eta > |\epsilon|_{\max}$,自适应律为

$$\dot{\hat{W}} = \gamma s h(x) \quad (3.9)$$

则 $\dot{V} = \varepsilon s - \eta |s| \leq 0$ 。

可见, 控制律中的鲁棒项 $\eta \text{sgn}(s)$ 的作用是克服神经网络的逼近误差, 以保证系统稳定。

由于当且仅当 $s=0$ 时, $\dot{V}=0$ 。即当 $\dot{V} \equiv 0$ 时, $s \equiv 0$ 。根据 LaSalle 不变性原理, 闭环系统为渐进稳定, 即当 $t \rightarrow \infty$ 时, $s \rightarrow 0$ 。系统的收敛速度取决于 η 。

由于 $V \geq 0$, $\dot{V} \leq 0$, 则当 $t \rightarrow \infty$ 时, V 有界, 因此, 可以证明 \hat{W} 有界, 但无法保证 \hat{W} 收敛于 W^* 。

3.1.4 仿真实例

考虑如下被控对象

$$\begin{cases} \dot{x}_1 = x_2 \\ \dot{x}_2 = f(x) + u \end{cases}$$

其中, $f(x) = 10x_1x_2$ 。

被控对象的初始状态取 $[0.15 \ 0]$, 位置指令为 $x_d = \sin t$, 控制律采用式(3.8), 自适应律采用式(3.9), 取 $\gamma = 1500$, $\eta = 1.5$ 。根据网络输入 x_1 和 x_2 的实际范围来设计高斯基函数的参数^[2], 参数 c_j 和 b_j 取值分别为 $0.5 \times [-2 \ -1 \ 0 \ 1 \ 2]$ 和 3.0。仿真程序中为了避免混淆, 将 $s = ce + \dot{e}$ 中的 c 写为 λ , 取 $\lambda = 10$ 。网络权值中各个元素的初始值取 0.10。仿真结果如图 3-1 和图 3-2 所示。

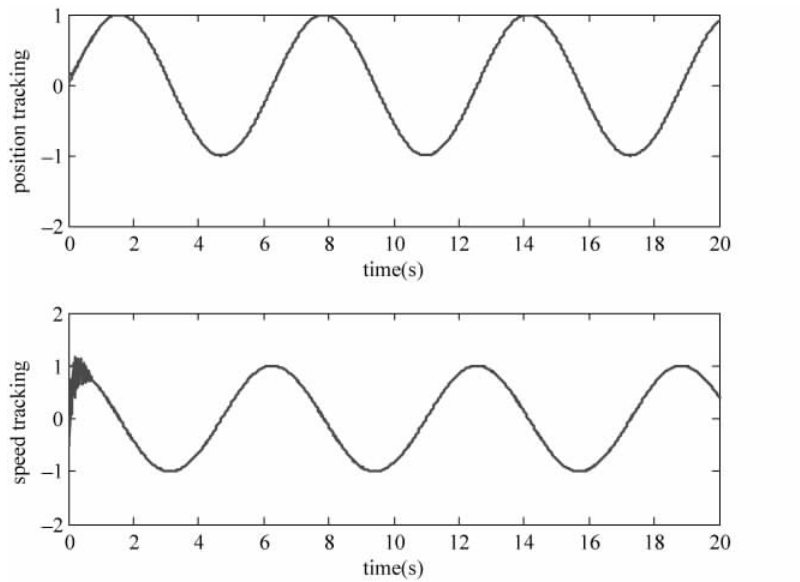


图 3-1 角度和角速度跟踪

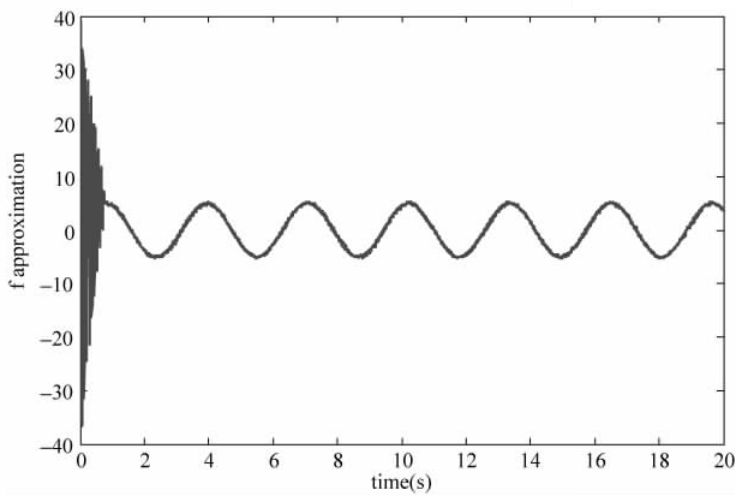
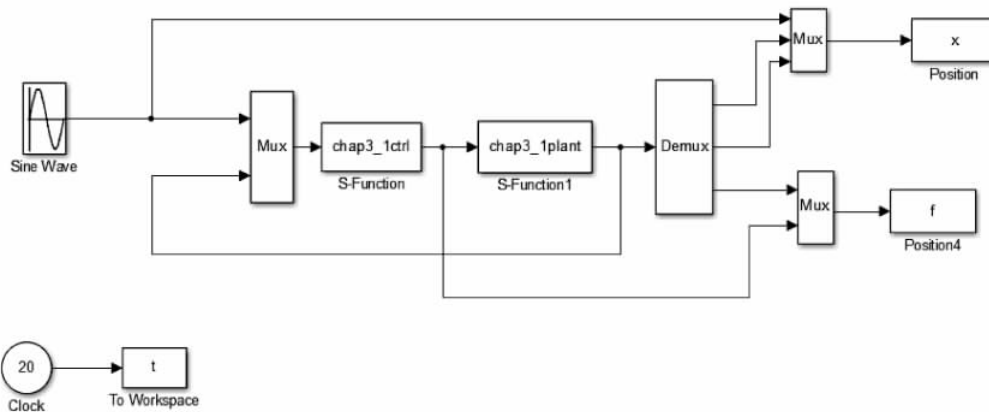


图 3-2 $f(x)$ 及逼近

仿真程序如下：

(1) Simulink 主程序：chap3_1sim.mdl



(2) 控制律及自适应律 S 函数：chap3_1ctrl.m

```
function [sys,x0,str,ts] = spacemodel(t,x,u,flag)
switch flag,
case 0,
    [sys,x0,str,ts] = mdlInitializeSizes;
case 1,
    sys = mdlDerivatives(t,x,u);
case 3,
    sys = mdlOutputs(t,x,u);
case {2,4,9}
    sys = [];
otherwise
    error(['Unhandled flag = ', num2str(flag)]);
end
```

```
function [sys,x0,str,ts] = mdlInitializeSizes
global b c lama
sizes = simsizes;
sizes.NumContStates = 5;
sizes.NumDiscStates = 0;
sizes.NumOutputs = 2;
sizes.NumInputs = 4;
sizes.DirFeedthrough = 1;
sizes.NumSampleTimes = 1;
sys = simsizes(sizes);
x0 = 0.1 * ones(1,5);
str = [];
ts = [0 0];
c = 0.5 * [-2 -1 0 1 2;
           -2 -1 0 1 2];
b = 3.0;
lama = 10;
function sys = mdlDerivatives(t,x,u)
global b c lama
xd = sin(t);
dxd = cos(t);

x1 = u(2);
x2 = u(3);
e = x1 - xd;
de = x2 - dxd;
s = lama * e + de;

W = [x(1) x(2) x(3) x(4) x(5)]';
xi = [x1;x2];

h = zeros(5,1);
for j = 1:1:5
    h(j) = exp(-norm(xi - c(:,j))^2/(2 * b^2));
end

gama = 1500;
for i = 1:1:5
    sys(i) = gama * s * h(i);
end

function sys = mdlOutputs(t,x,u)
global b c lama
xd = sin(t);
dxd = cos(t);
ddxd = -sin(t);

x1 = u(2);
x2 = u(3);
e = x1 - xd;
de = x2 - dxd;
```

```

s = lama * e + de;

W = [x(1) x(2) x(3) x(4) x(5)];
xi = [x1;x2];

h = zeros(5,1);
for j = 1:1:5
    h(j) = exp(-norm(xi - c(:,j))^2/(2 * b^2));
end
fn = W * h;
xite = 1.50;

% fn = 10 * x1 + x2; % Precise f
ut = -lama * de + ddx - fn - xite * sign(s);

sys(1) = ut;
sys(2) = fn;

```

(3) 被控对象 S 函数: chap3_1plant.m

```

function [sys,x0,str,ts] = s_function(t,x,u,flag)
switch flag,
case 0,
    [sys,x0,str,ts] = mdlInitializeSizes;
case 1,
    sys = mdlDerivatives(t,x,u);
case 3,
    sys = mdlOutputs(t,x,u);
case {2, 4, 9}
    sys = [];
otherwise
    error(['Unhandled flag = ',num2str(flag)]);
end
function [sys,x0,str,ts] = mdlInitializeSizes
sizes = simsizes;
sizes.NumContStates = 2;
sizes.NumDiscStates = 0;
sizes.NumOutputs = 3;
sizes.NumInputs = 2;
sizes.DirFeedthrough = 0;
sizes.NumSampleTimes = 0;
sys = simsizes(sizes);
x0 = [0.15;0];
str = [];
ts = [];
function sys = mdlDerivatives(t,x,u)
ut = u(1);

f = 10 * x(1) * x(2);
sys(1) = x(2);
sys(2) = f + ut;

```

```

function sys = mdlOutputs(t,x,u)
f = 10 * x(1) * x(2);

sys(1) = x(1);
sys(2) = x(2);
sys(3) = f;

```

(4) 作图程序: chap3_1plot.m

```

close all;

figure(1);
subplot(211);
plot(t,x(:,1),'r',t,x(:,2),'b','linewidth',2);
xlabel('time(s)');ylabel('position tracking');
subplot(212);
plot(t,cos(t),'r',t,x(:,3),'b','linewidth',2);
xlabel('time(s)');ylabel('speed tracking');

figure(2);
plot(t,f(:,1),'r',t,f(:,3),'b','linewidth',2);
xlabel('time(s)');ylabel('f approximation');

```

3.2 基于 RBF 网络逼近的机械手自适应控制

通过对文献[3]的控制方法进行详细推导及仿真分析,研究一类机械臂神经网络自适应控制的设计方法。

3.2.1 问题的提出

设 n 关节机械手方程为

$$\mathbf{M}(\mathbf{q}) \ddot{\mathbf{q}} + \mathbf{C}(\mathbf{q}, \dot{\mathbf{q}}) \dot{\mathbf{q}} + \mathbf{G}(\mathbf{q}) + \mathbf{F}(\dot{\mathbf{q}}) + \boldsymbol{\tau}_d = \boldsymbol{\tau} \quad (3.10)$$

其中, $\mathbf{M}(\mathbf{q})$ 为 $n \times n$ 阶正定惯性矩阵, $\mathbf{C}(\mathbf{q}, \dot{\mathbf{q}})$ 为 $n \times n$ 阶惯性矩阵, 其中, $\mathbf{G}(\mathbf{q})$ 为 $n \times 1$ 阶惯性向量, $\mathbf{F}(\dot{\mathbf{q}})$ 为摩擦力, $\boldsymbol{\tau}_d$ 为未知外加干扰, $\boldsymbol{\tau}$ 为控制输入。

跟踪误差为

$$\mathbf{e}(t) = \mathbf{q}_d(t) - \mathbf{q}(t)$$

定义误差函数为

$$\mathbf{r} = \dot{\mathbf{e}} + \Delta \mathbf{e} \quad (3.11)$$

其中, $\Delta = \Delta^T > 0$, 则

$$\begin{aligned}
\dot{\mathbf{q}} &= -\mathbf{r} + \dot{\mathbf{q}}_d + \Delta \mathbf{e} \\
\mathbf{M} \dot{\mathbf{r}} &= \mathbf{M}(\ddot{\mathbf{q}}_d - \ddot{\mathbf{q}} + \Delta \dot{\mathbf{e}}) = \mathbf{M}(\ddot{\mathbf{q}}_d + \Delta \dot{\mathbf{e}}) - \mathbf{M} \ddot{\mathbf{q}} \\
&= \mathbf{M}(\ddot{\mathbf{q}}_d + \Delta \dot{\mathbf{e}}) + \mathbf{C} \dot{\mathbf{q}} + \mathbf{G} + \mathbf{F} + \boldsymbol{\tau}_d - \boldsymbol{\tau} \\
&= \mathbf{M}(\ddot{\mathbf{q}}_d + \Delta \dot{\mathbf{e}}) - \mathbf{C} \mathbf{r} + \mathbf{C}(\dot{\mathbf{q}}_d + \Delta \mathbf{e}) + \mathbf{G} + \mathbf{F} + \boldsymbol{\tau}_d - \boldsymbol{\tau} \\
&= -\mathbf{C} \mathbf{r} - \boldsymbol{\tau} + \mathbf{f} + \boldsymbol{\tau}_d
\end{aligned} \quad (3.12)$$

其中, $f(x) = M(\ddot{q}_d + \Delta \dot{e}) + C(q_d + \Delta e) + G + F$ 。

在实际工程中, 模型不确定项 f 为未知, 为此, 需要对不确定项 f 进行逼近。

采用 RBF 网络逼近 f , 根据 $f(x)$ 的表达式, 网络输入取

$$\mathbf{x} = [e^T \quad \dot{e}^T \quad q_d^T \quad \dot{q}_d^T \quad \ddot{q}_d^T]$$

设计控制律为

$$\boldsymbol{\tau} = \hat{f} + \mathbf{K}_v \mathbf{r} \quad (3.13)$$

其中, $\hat{f}(x)$ 为 RBF 网络的估计值。

将控制律式(3.13)代入式(3.12), 得

$$\begin{aligned} M\dot{r} &= -Cr - \hat{f} - \mathbf{K}_v \mathbf{r} + f + \boldsymbol{\tau}_d \\ &= -(K_v + C)\mathbf{r} + \tilde{f} + \boldsymbol{\tau}_d = -(K_v + C)\mathbf{r} + \boldsymbol{\zeta}_0 \end{aligned} \quad (3.14)$$

其中, $\tilde{f} = f - \hat{f}$, $\boldsymbol{\zeta}_0 = \tilde{f} + \boldsymbol{\tau}_d$ 。

如果定义 Lyapunov 函数

$$L = \frac{1}{2} \mathbf{r}^T M \mathbf{r}$$

则

$$\begin{aligned} \dot{L} &= \mathbf{r}^T M \dot{r} + \frac{1}{2} \mathbf{r}^T M r = -\mathbf{r}^T K_v \mathbf{r} + \frac{1}{2} \mathbf{r}^T (M - 2C)\mathbf{r} + \mathbf{r}^T \boldsymbol{\zeta}_0 \\ \dot{L} &= \mathbf{r}^T \boldsymbol{\zeta}_0 - \mathbf{r}^T K_v \mathbf{r} \end{aligned}$$

这说明在 K_v 固定条件下, 控制系统的稳定依赖于 $\boldsymbol{\zeta}_0$, 即 \hat{f} 对 f 的逼近精度及干扰 $\boldsymbol{\tau}_d$ 的大小。

采用 RBF 网络对不确定项 f 进行逼近。理想的 RBF 网络算法为

$$\phi_j = g(\|\mathbf{x} - \mathbf{c}_j\|^2 / b_j^2)$$

$$y = \mathbf{W}\boldsymbol{\phi}(\mathbf{x})$$

其中, x 为网络的输入信号, $\boldsymbol{\phi} = [\phi_1 \quad \phi_2 \quad \cdots \quad \phi_n]$, j 为隐层节点的个数, i 为网络输入的个数。

3.2.2 基于 RBF 神经网络逼近的控制器

1. 控制器的设计

采用 RBF 网络逼近 f , 则 RBF 神经网络的输出为

$$\hat{f}(x) = \hat{\mathbf{W}}^T \boldsymbol{\phi}(x) \quad (3.15)$$

取

$$\bar{\mathbf{W}} = \mathbf{W} - \hat{\mathbf{W}}, \quad \|\mathbf{W}\|_{\text{F}} \leq W_{\max}$$

设计控制律为

$$\boldsymbol{\tau} = \hat{\mathbf{W}}^T \boldsymbol{\phi}(x) + \mathbf{K}_v \mathbf{r} - \boldsymbol{v} \quad (3.16)$$

其中, \boldsymbol{v} 为用于克服神经网络逼近误差 $\boldsymbol{\epsilon}$ 的鲁棒项。

将控制律式(3.16)代入式(3.12),得

$$\mathbf{M}\dot{\mathbf{r}} = -(\mathbf{K}_v + \mathbf{C})\mathbf{r} + \tilde{\mathbf{W}}^T \boldsymbol{\varphi}(\mathbf{x}) + (\boldsymbol{\epsilon} + \boldsymbol{\tau}_d) + \mathbf{v} = -(\mathbf{K}_v + \mathbf{C})\mathbf{r} + \boldsymbol{\zeta} \quad (3.17)$$

其中, $\boldsymbol{\zeta} = \tilde{\mathbf{W}}^T \boldsymbol{\varphi}(\mathbf{x}) + (\boldsymbol{\epsilon} + \boldsymbol{\tau}_d) + \mathbf{v}$ 。

2. 稳定性及收敛性分析

根据控制律式(3.16)中是否有 $v(t)$ 项, $\boldsymbol{\epsilon}$ 和 $\boldsymbol{\tau}_d$ 是否存在以及神经网络自适应律设计的不同,系统的收敛性不同。

1) 取 $v(t)=0$,存在 $\boldsymbol{\epsilon}$ 和 $\boldsymbol{\tau}_d$ 的情况

定义 Lyapunov 函数

$$L = \frac{1}{2}\mathbf{r}^T \mathbf{M} \mathbf{r} + \frac{1}{2} \text{tr}(\tilde{\mathbf{W}}^T \mathbf{F}^{-1} \tilde{\mathbf{W}}) \quad (3.18)$$

则

$$\dot{L} = \mathbf{r}^T \mathbf{M} \dot{\mathbf{r}} + \frac{1}{2} \mathbf{r}^T \dot{\mathbf{M}} \mathbf{r} + \text{tr}(\tilde{\mathbf{W}}^T \mathbf{F}^{-1} \dot{\tilde{\mathbf{W}}})$$

将式(3.17)代入上式,得

$$\dot{L} = -\mathbf{r}^T \mathbf{K}_v \mathbf{r} + \frac{1}{2} \mathbf{r}^T (\dot{\mathbf{M}} - 2\mathbf{C}) \mathbf{r} + \text{tr}(\tilde{\mathbf{W}}^T (\mathbf{F}^{-1} \dot{\tilde{\mathbf{W}}} + \boldsymbol{\varphi} \mathbf{r}^T)) + \mathbf{r}^T (\boldsymbol{\epsilon} + \boldsymbol{\tau}_d) \quad (3.19)$$

考虑机械手特性,并取

$$\dot{\tilde{\mathbf{W}}} = -\mathbf{F} \boldsymbol{\varphi} \mathbf{r}^T$$

即神经网络自适应律为

$$\dot{\tilde{\mathbf{W}}} = \mathbf{F} \boldsymbol{\varphi} \mathbf{r}^T \quad (3.20)$$

则

$$\dot{L} = -\mathbf{r}^T \mathbf{K}_v \mathbf{r} + \mathbf{r}^T (\boldsymbol{\epsilon} + \boldsymbol{\tau}_d) \leq -K_{\min} \|\mathbf{r}\|^2 + (\epsilon_N + b_d) \|\mathbf{r}\|$$

其中, $\|\boldsymbol{\epsilon}\| \leq \epsilon_N$, $\|\boldsymbol{\tau}_d\| \leq b_d$ 。

当满足下列收敛条件时, $\dot{L} \leq 0$:

$$\|\mathbf{r}\| \geq (\epsilon_N + b_d) / K_{\min} \quad (3.21)$$

2) 取 $v(t)=0$, $\boldsymbol{\epsilon}=0$, $\boldsymbol{\tau}_d=0$ 的情况

Lyapunov 函数为

$$L = \frac{1}{2}\mathbf{r}^T \mathbf{M} \mathbf{r} + \frac{1}{2} \text{tr}(\tilde{\mathbf{W}}^T \mathbf{F}^{-1} \tilde{\mathbf{W}}) \quad (3.22)$$

此时控制律和自适应律为

$$\boldsymbol{\tau} = \hat{\mathbf{W}}^T \boldsymbol{\varphi}(\mathbf{x}) + \mathbf{K}_v \mathbf{r} \quad (3.23)$$

$$\dot{\hat{\mathbf{W}}} = \mathbf{F} \boldsymbol{\varphi} \mathbf{r}^T \quad (3.24)$$

由式(3.17)知

$$\mathbf{M}\dot{\mathbf{r}} = -(\mathbf{K}_v + \mathbf{C})\mathbf{r} + \tilde{\mathbf{W}}^T \boldsymbol{\varphi}(\mathbf{x})$$

则

$$\dot{L} = \mathbf{r}^T \mathbf{M} \dot{\mathbf{r}} + \frac{1}{2} \mathbf{r}^T \dot{\mathbf{M}} \mathbf{r} = -\mathbf{r}^T \mathbf{K}_v \mathbf{r} \leq 0$$

3) 取 $v(t)=0$, 存在 ϵ 和 τ_d , 自适应律采取 UUB 的形式
Lyapunov 函数和控制律取式(3.22)和式(3.23)。

自适应律为

$$\dot{\hat{W}} = \mathbf{F} \boldsymbol{\varphi} r^T - k \mathbf{F} \| r \| \hat{W} \quad (3.25)$$

则根据式(3.19), 有

$$\dot{L} = -r^T \mathbf{K}_v r + \frac{1}{2} r^T (\dot{M} - 2C) r + \text{tr} \tilde{W}^T (\mathbf{F}^{-1} \dot{\hat{W}} + \boldsymbol{\varphi} r^T) + r^T (\epsilon + \tau_d)$$

将式(3.25)代入上式, 得

$$\begin{aligned} \dot{L} &= -r^T \mathbf{K}_v r + \text{tr} \tilde{W}^T (-\boldsymbol{\varphi} r^T + k \| r \| \hat{W} + \boldsymbol{\varphi} r^T) + r^T (\epsilon + \tau_d) \\ &= -r^T \mathbf{K}_v r + k \| r \| \text{tr} \tilde{W}^T (\mathbf{W} - \tilde{W}) + r^T (\epsilon + \tau_d) \end{aligned}$$

由于

$$\text{tr} \tilde{W}^T (\mathbf{W} - \tilde{W}) = (\tilde{W}, \mathbf{W})_F - \|\mathbf{W}\|_F^2 \leq \|\tilde{W}\|_F \|\mathbf{W}\|_F - \|\tilde{W}\|_F^2$$

则

$$\begin{aligned} \dot{L} &\leq -K_{v\min} \| r \|^2 + k \| r \| \| \tilde{W} \|_F (W_{\max} - \|\tilde{W}\|_F) + (\epsilon_N + b_d) \| r \| \\ &= -\| r \| (K_{v\min} \| r \| + k \| \tilde{W} \|_F (\|\tilde{W}\|_F - W_{\max}) - (\epsilon_N + b_d)) \end{aligned}$$

由于

$$\begin{aligned} K_{v\min} \| r \| + k \| \tilde{W} \|_F (\|\tilde{W}\|_F - W_{\max}) - (\epsilon_N + b_d) \\ = k (\|\tilde{W}\|_F - W_{\max}/2)^2 - kW_{\max}^2/4 + K_{v\min} \| r \| - (\epsilon_N + b_d) \end{aligned}$$

则要使 $\dot{L} \leq 0$, 需要

$$\| r \| \geq \frac{kW_{\max}^2/4 + (\epsilon_N + b_d)}{K_{v\min}} \quad (3.26)$$

或

$$\|\tilde{W}\|_F \geq W_{\max}/2 + \sqrt{W_{\max}^2/4 + (\epsilon_N + b_d)/k} \quad (3.27)$$

4) 存在 ϵ 和 τ_d , 考虑鲁棒项 $v(t)$ 设计的情况

将鲁棒项 v 设计为

$$v = -(\epsilon_N + b_d) \text{sgn}(r) \quad (3.28)$$

控制律取式(3.16), 神经网络自适应律取式(3.20)。

定义 Lyapunov 函数为

$$L = \frac{1}{2} r^T M r + \frac{1}{2} \text{tr} (\tilde{W}^T \mathbf{F}^{-1} \dot{\tilde{W}})$$

则

$$\dot{L} = r^T M \dot{r} + \frac{1}{2} r^T \dot{M} r + \text{tr} (\tilde{W}^T \mathbf{F}^{-1} \dot{\tilde{W}})$$

将(3.17)式代入上式, 得

$$\dot{L} = -r^T \mathbf{K}_v r + \frac{1}{2} r^T (\dot{M} - 2C) r + \text{tr} \tilde{W}^T (\mathbf{F}^{-1} \dot{\tilde{W}} + \boldsymbol{\varphi} r^T) + r^T (\epsilon + \tau_d + v)$$

则

$$\dot{L} = -\mathbf{r}^T \mathbf{K}_v \mathbf{r} + \mathbf{r}^T (\mathbf{e} + \boldsymbol{\tau}_d + \mathbf{v})$$

由于

$$\mathbf{r}^T (\mathbf{e} + \boldsymbol{\tau}_d + \mathbf{v}) = \mathbf{r}^T (\mathbf{e} + \boldsymbol{\tau}_d) + \mathbf{r}^T \mathbf{v} = \mathbf{r}^T (\mathbf{e} + \boldsymbol{\tau}_d) - \| \mathbf{r} \| (\mathbf{e}_N + \mathbf{b}_d) \leqslant 0$$

则

$$\dot{L} \leqslant 0$$

针对以上 4 种情况, 由于当 $\dot{L} = 0$ 时, $r = 0$, 根据 LaSalle 不变性原理, 闭环系统渐近稳定, $t \rightarrow \infty$ 时, $r \rightarrow 0$ 。由于 $L \geqslant 0$, $\dot{L} \leqslant 0$, 则 L 有界, 从而 \tilde{W} 有界, 但无法保证 \tilde{W} 收敛于 0。

3.2.3 针对 $f(x)$ 中各项分别进行神经网络逼近

控制律为

$$\boldsymbol{\tau} = \hat{\mathbf{W}}^T \boldsymbol{\phi}(x) + \mathbf{K}_v \mathbf{r} - \mathbf{v} \quad (3.29)$$

鲁棒项 v 取式(3.28)。由式(3.12)知, 被控对象中的 $f(x)$ 项可写为

$$f(x) = \mathbf{M}(q) \boldsymbol{\xi}_1(t) + \mathbf{C}(q, \dot{q}) \boldsymbol{\xi}_2(t) + \mathbf{G}(q) + \mathbf{F}(\dot{q})$$

其中, $\boldsymbol{\xi}_1(t) = \ddot{\mathbf{q}}_d + \Delta \dot{\mathbf{e}}$, $\boldsymbol{\xi}_2(t) = \dot{\mathbf{q}}_d + \Delta \mathbf{e}$ 。

采用 RBF 神经网络, 可以对 $f(x)$ 中的各项分别进行逼近:

$$\hat{\mathbf{M}}(q) = \mathbf{W}_M^T \boldsymbol{\phi}_M(q)$$

$$\hat{\mathbf{C}}(q, \dot{q}) = \mathbf{W}_V^T \boldsymbol{\phi}_V(q, \dot{q})$$

$$\hat{\mathbf{G}}(q) = \mathbf{W}_G^T \boldsymbol{\phi}_G(q)$$

$$\hat{\mathbf{F}}(\dot{q}) = \mathbf{W}_F^T \boldsymbol{\phi}_F(\dot{q})$$

则

$$\hat{f}(x) = [\mathbf{W}_M^T \boldsymbol{\xi}_1(t) \quad \mathbf{W}_V^T \boldsymbol{\xi}_2(t) \quad \mathbf{W}_G^T \quad \mathbf{W}_F^T] \begin{bmatrix} \boldsymbol{\phi}_M \\ \boldsymbol{\phi}_V \\ \boldsymbol{\phi}_G \\ \boldsymbol{\phi}_F \end{bmatrix} \quad (3.30)$$

$$\text{其中, } \boldsymbol{\phi}(x) = \begin{bmatrix} \boldsymbol{\phi}_M \\ \boldsymbol{\phi}_V \\ \boldsymbol{\phi}_G \\ \boldsymbol{\phi}_F \end{bmatrix}, \mathbf{W}^T = [\mathbf{W}_M^T \quad \mathbf{W}_V^T \quad \mathbf{W}_G^T \quad \mathbf{W}_F^T]。$$

自适应律为

$$\dot{\hat{\mathbf{W}}}_M = \mathbf{F}_M \boldsymbol{\phi}_M \mathbf{r}^T - k_M \mathbf{F}_M \| \mathbf{r} \| \hat{\mathbf{W}}_M \quad (3.31)$$

$$\dot{\hat{W}}_V = F_V \boldsymbol{\phi}_V r^T - k_V F_V \| r \| \hat{W}_V \quad (3.32)$$

$$\dot{\hat{W}}_G = F_G \boldsymbol{\phi}_G r^T - k_G F_G \| r \| \hat{W}_G \quad (3.33)$$

$$\dot{\hat{W}}_F = F_F \boldsymbol{\phi}_F r^T - k_F F_F \| r \| \hat{W}_F \quad (3.34)$$

其中, $k_M > 0, k_V > 0, k_G > 0, k_F > 0$ 。

稳定性分析如下:

定义 Lyapunov 函数为

$$\begin{aligned} L = & \frac{1}{2} \mathbf{r}^T M \mathbf{r} + \frac{1}{2} \text{tr}(\tilde{W}_M^T F_M^{-1} \tilde{W}_M) + \frac{1}{2} \text{tr}(\tilde{W}_V^T F_V^{-1} \tilde{W}_V) \\ & + \frac{1}{2} \text{tr}(\tilde{W}_G^T F_G^{-1} \tilde{W}_G) + \frac{1}{2} \text{tr}(\tilde{W}_F^T F_F^{-1} \tilde{W}_F) \end{aligned}$$

则

$$\begin{aligned} \dot{L} = & \mathbf{r}^T M \dot{\mathbf{r}} + \frac{1}{2} \mathbf{r}^T \dot{M} \mathbf{r} + \text{tr}(\tilde{W}_M^T F_M^{-1} \dot{\tilde{W}}_M) + \text{tr}(\tilde{W}_V^T F_V^{-1} \dot{\tilde{W}}_V) \\ & + \text{tr}(\tilde{W}_G^T F_G^{-1} \dot{\tilde{W}}_G) + \text{tr}(\tilde{W}_F^T F_F^{-1} \dot{\tilde{W}}_F) \end{aligned}$$

将式(3.17)代入上式, 得

$$\begin{aligned} \dot{L} = & -\mathbf{r}^T K_v \mathbf{r} + \frac{1}{2} \mathbf{r}^T (\dot{M} - 2V_m) \mathbf{r} + \mathbf{r}^T (\boldsymbol{\epsilon} + \boldsymbol{\tau}_d) + \mathbf{r}^T \mathbf{v} + \text{tr} \tilde{W}_M^T (F_M^{-1} \dot{\tilde{W}}_M + \boldsymbol{\phi}_M \mathbf{r}^T) \\ & + \text{tr} \tilde{W}_V^T (F_V^{-1} \dot{\tilde{W}}_V + \boldsymbol{\phi}_V \mathbf{r}^T) + \text{tr} \tilde{W}_G^T (F_G^{-1} \dot{\tilde{W}}_G + \boldsymbol{\phi}_G \mathbf{r}^T) + \text{tr} \tilde{W}_F^T (F_F^{-1} \dot{\tilde{W}}_F + \boldsymbol{\phi}_F \mathbf{r}^T) \end{aligned} \quad (3.35)$$

考虑机械手特性, 并将神经网络自适应律式(3.31)~式(3.34)代入上式, 得

$$\begin{aligned} \dot{L} = & -\mathbf{r}^T K_v \mathbf{r} + k_M \| \mathbf{r} \| \text{tr} \tilde{W}_M^T (W_M - \tilde{W}_M) + k_V \| \mathbf{r} \| \text{tr} \tilde{W}_V^T (W_V - \tilde{W}_V) \\ & + k_G \| \mathbf{r} \| \text{tr} \tilde{W}_G^T (W_G - \tilde{W}_G) + k_F \| \mathbf{r} \| \text{tr} \tilde{W}_F^T (W_F - \tilde{W}_F) + \mathbf{r}^T (\boldsymbol{\epsilon} + \boldsymbol{\tau}_d) + \mathbf{r}^T \mathbf{v} \end{aligned}$$

由于

$$\text{tr} \tilde{W}^T (W - \tilde{W}) = (\tilde{W}, W)_F - \| W \|_F^2 \leqslant \| \tilde{W} \|_F \| W \|_F - \| \tilde{W} \|_F^2$$

考虑鲁棒项(3.28), 则

$$\begin{aligned} \dot{L} \leqslant & -K_{v\min} \| \mathbf{r} \|^2 + k_M \| \mathbf{r} \| \| \tilde{W}_M \|_F (W_{M\max} - \| \tilde{W}_M \|_F) \\ & + k_V \| \mathbf{r} \| \| \tilde{W}_V \|_F (W_{V\max} - \| \tilde{W}_V \|_F) \\ & + k_G \| \mathbf{r} \| \| \tilde{W}_G \|_F (W_{G\max} - \| \tilde{W}_G \|_F) + k_M \| \mathbf{r} \| \| \tilde{W}_F \|_F (W_{F\max} - \| \tilde{W}_F \|_F) \\ = & -\| \mathbf{r} \| [K_{v\min} \| \mathbf{r} \|^2 + k_M \| \tilde{W}_M \|_F (\| \tilde{W}_M \|_F - W_{M\max}) \\ & + k_V \| \tilde{W}_V \|_F (\| \tilde{W}_V \|_F - W_{V\max}) + k_G \| \tilde{W}_G \|_F (\| \tilde{W}_G \|_F - W_{G\max}) \\ & + k_F \| \tilde{W}_F \|_F (\| \tilde{W}_F \|_F - W_{F\max})] \end{aligned}$$

由于

$$k \|\tilde{\mathbf{W}}\|_F (\|\tilde{\mathbf{W}}\|_F - W_{\max}) = k(\|\tilde{\mathbf{W}}\|_F - W_{\max}/2)^2 - kW_{\max}^2/4$$

要使 $\dot{L} \leq 0$, 需要

$$\|\mathbf{r}\| \geq \frac{k_M W_{M\max}^2/4 + k_V W_{V\max}^2/4 + k_G W_{G\max}^2/4 + k_F W_{F\max}^2/4}{K_{v\min}} \quad (3.36)$$

或

$$\|\tilde{\mathbf{W}}_M\|_F \geq W_{M\max} \text{ 且 } \|\tilde{\mathbf{W}}_V\|_F \geq W_{V\max} \text{ 且 } \|\tilde{\mathbf{W}}_G\|_F \geq W_{G\max} \text{ 且 } \|\tilde{\mathbf{W}}_F\|_F \geq W_{F\max} \quad (3.37)$$

由式(3.35)可见, 由于 $\dot{L} \leq 0$ 当 $L=0$ 时, $r=0$, 根据 LaSalle 不变集原理, 当 $t \rightarrow \infty$ 时, $r \rightarrow 0$ 。由于 $L \geq 0$, $\dot{L} \leq 0$, 则 L 有界, 从而 r 和 $\tilde{\mathbf{W}}_i$ 有界, 但无法保证 $\tilde{\mathbf{W}}_i$ 收敛于零。

3.2.4 仿真实例

选择二关节机机械臂系统, 其动力学模型为

$$\mathbf{M}(\mathbf{q})\ddot{\mathbf{q}} + \mathbf{V}(\mathbf{q}, \dot{\mathbf{q}})\dot{\mathbf{q}} + \mathbf{G}(\mathbf{q}) + \mathbf{F}(\dot{\mathbf{q}}) + \boldsymbol{\tau}_d = \boldsymbol{\tau}$$

其中,

$$\mathbf{M}(\mathbf{q}) = \begin{bmatrix} p_1 + p_2 + 2p_3 \cos q_2 & p_2 + p_3 \cos q_2 \\ p_2 + p_3 \cos q_2 & p_2 \end{bmatrix}$$

$$\mathbf{V}(\mathbf{q}, \dot{\mathbf{q}}) = \begin{bmatrix} -p_3 \dot{q}_2 \sin q_2 & -p_3(\dot{q}_1 + \dot{q}_2) \sin q_2 \\ p_3 \dot{q}_1 \sin q_2 & 0 \end{bmatrix}$$

$$\mathbf{G}(\mathbf{q}) = \begin{bmatrix} p_4 g \cos q_1 + p_5 g \cos(q_1 + q_2) \\ p_5 g \cos(q_1 + q_2) \end{bmatrix}$$

$$\mathbf{F}(\dot{\mathbf{q}}) = 0.2 \operatorname{sgn}(\dot{\mathbf{q}}), \quad \boldsymbol{\tau}_d = [0.1 \sin(t) \quad 0.1 \sin(t)]^T$$

取 $\mathbf{p} = [p_1, p_2, p_3, p_4, p_5] = [2.9, 0.76, 0.87, 3.04, 0.87]$ 。RBF 网络高斯基函数参数的取值对神经网络控制的作用很重要, 如果参数取值不合适, 将使高斯基函数无法得到有效的映射, 从而导致 RBF 网络无效。故 c 按网络输入值的范围取值, 取 $b_j = 0.20$,

$$c = 0.1 \begin{bmatrix} -1.5 & -1 & -0.5 & 0 & 0.5 & 1 & 1.5 \\ -1.5 & -1 & -0.5 & 0 & 0.5 & 1 & 1.5 \\ -1.5 & -1 & -0.5 & 0 & 0.5 & 1 & 1.5 \\ -1.5 & -1 & -0.5 & 0 & 0.5 & 1 & 1.5 \\ -1.5 & -1 & -0.5 & 0 & 0.5 & 1 & 1.5 \end{bmatrix}, \text{ 网络的初始权值取零, 网络输入取 } \mathbf{z} = [\mathbf{e} \quad \dot{\mathbf{e}} \quad \mathbf{q}_d \quad \dot{\mathbf{q}}_d \quad \ddot{\mathbf{q}}_d].$$

系统的初始状态为 $[0.09 \ 0 \ -0.09 \ 0]$,两个关节的角度指令分别为 $q_{1d} = 0.1\sin t, q_{2d} = 0.1\sin t$,控制参数取 $K_v = \text{diag}\{20, 20\}, F = \text{diag}\{1.5, 1.5\}, \Delta = \text{diag}\{5, 5\}$,在鲁棒项中,取 $\epsilon_N = 0.20, b_d = 0.10$ 。

采用Simulink和S函数进行控制系统的设计,神经网络权值矩阵中任意元素初值取0.10。总体逼近控制器子程序chap3_9ctrl.m,按3.2.2节第4种情况设计控制律,控制律取式(3.16), v 取式(3.28),自适应律取式(3.20)。采用总体逼近控制器,仿真结果如图3-3~图3-6所示。

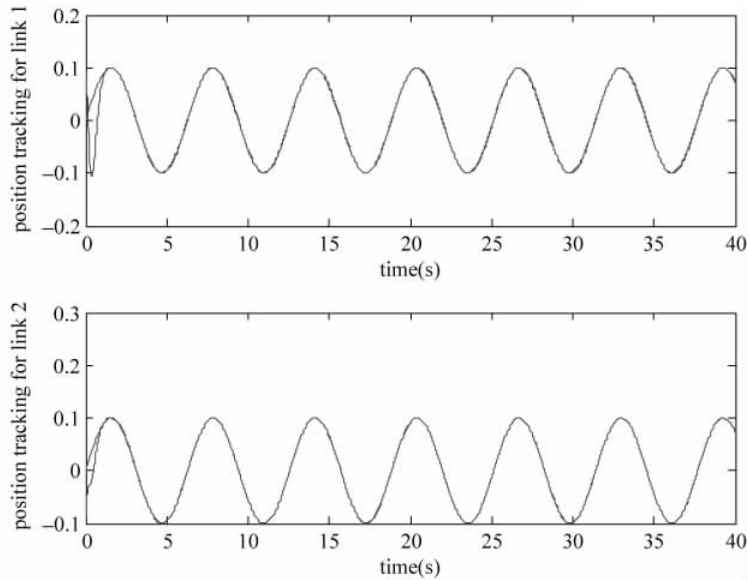


图3-3 关节1及关节2的角度跟踪

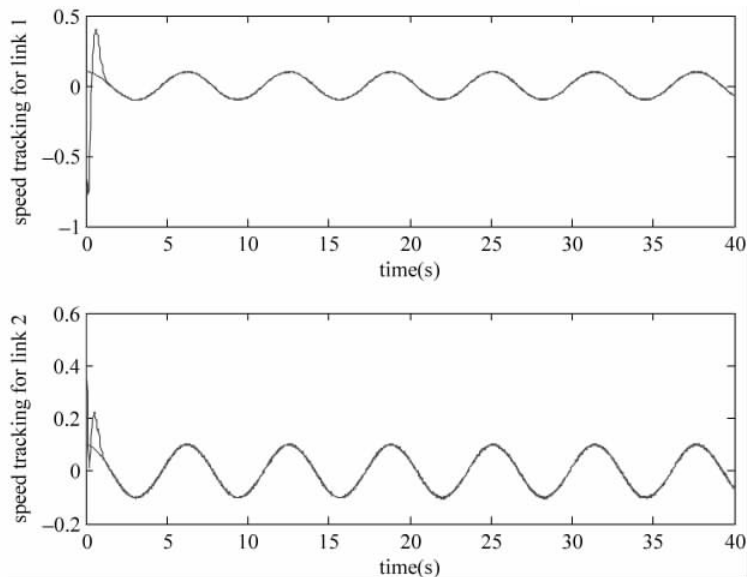


图3-4 关节1及关节2的角速度跟踪

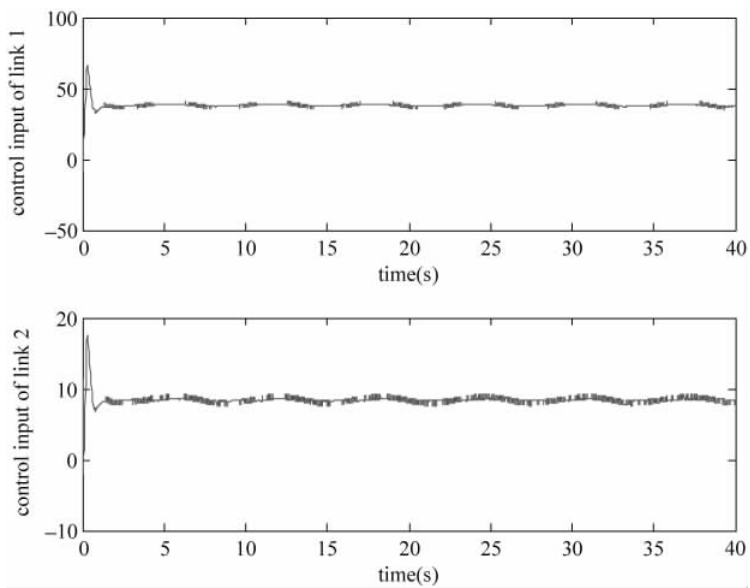


图 3-5 关节 1 及关节 2 的控制输入

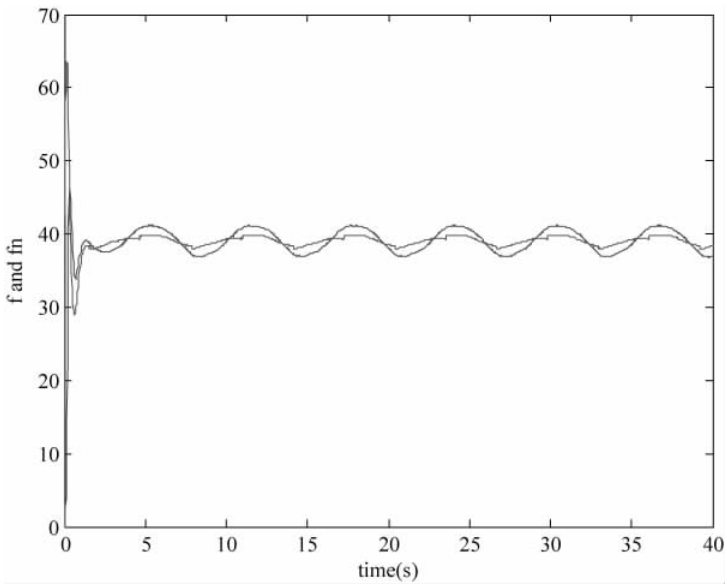
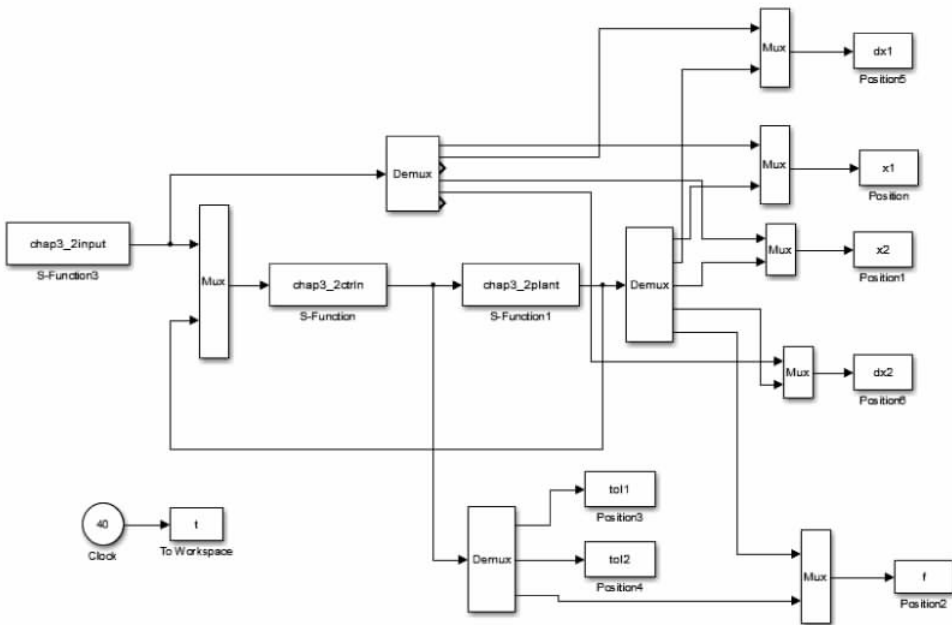


图 3-6 关节 1 及关节 2 的 $\| f(x) \|$ 及其逼近 $\hat{f}(x) \|$

仿真程序如下：

- (1) Simulink 主程序：chap3_2sim.mdl
- (2) 位置指令子程序：chap3_2input.m



```

function [ sys,x0,str,ts] = spacemodel(t,x,u,flag)
switch flag,
case 0,
    [ sys,x0,str,ts] = mdlInitializeSizes;
case 1,
    sys = mdlDerivatives(t,x,u);
case 3,
    sys = mdlOutputs(t,x,u);
case {2,4,9}
    sys = [ ];
otherwise
    error(['Unhandled flag = ',num2str(flag)]);
end
function [ sys,x0,str,ts] = mdlInitializeSizes
sizes = simsizes;
sizes.NumContStates = 0;
sizes.NumDiscStates = 0;
sizes.NumOutputs = 6;
sizes.NumInputs = 0;
sizes.DirFeedthrough = 0;
sizes.NumSampleTimes = 1;
sys = simsizes(sizes);
x0 = [];
str = [];
ts = [0 0];
function sys = mdlOutputs(t,x,u)
qd1 = 0.1 * sin(t);
d_qd1 = 0.1 * cos(t);
dd_qd1 = - 0.1 * sin(t);

```

```
qd2 = 0.1 * sin(t);
d_qd2 = 0.1 * cos(t);
dd_qd2 = -0.1 * sin(t);
```

```
sys(1) = qd1;
sys(2) = d_qd1;
sys(3) = dd_qd1;
sys(4) = qd2;
sys(5) = d_qd2;
sys(6) = dd_qd2;
```

(3) 总体逼近控制器子程序：chap3_2ctrl.m

```
function [sys,x0,str,ts] = spacemodel(t,x,u,flag)
switch flag,
case 0,
    [sys,x0,str,ts] = mdlInitializeSizes;
case 1,
    sys = mdlDerivatives(t,x,u);
case 3,
    sys = mdlOutputs(t,x,u);
case {2,4,9}
    sys = [];
otherwise
    error(['Unhandled flag = ',num2str(flag)]);
end

function [sys,x0,str,ts] = mdlInitializeSizes
global node c b Fai
node = 7;
c = 0.1 * [-1.5 -1 -0.5 0 0.5 1 1.5;
            -1.5 -1 -0.5 0 0.5 1 1.5;
            -1.5 -1 -0.5 0 0.5 1 1.5;
            -1.5 -1 -0.5 0 0.5 1 1.5;
            -1.5 -1 -0.5 0 0.5 1 1.5];
b = 10;
Fai = 5 * eye(2);

sizes = simsizes;
sizes.NumContStates = 2 * node;
sizes.NumDiscStates = 0;
sizes.NumOutputs = 3;
sizes.NumInputs = 11;
sizes.DirFeedthrough = 1;
sizes.NumSampleTimes = 0;
sys = simsizes(sizes);
x0 = 0.1 * ones(1,2 * node);
str = [];
ts = [];
function sys = mdlDerivatives(t,x,u)
global node c b Fai
```

```

qd1 = u(1);
d_qd1 = u(2);
dd_qd1 = u(3);
qd2 = u(4);
d_qd2 = u(5);
dd_qd2 = u(6);

q1 = u(7);
d_q1 = u(8);
q2 = u(9);
d_q2 = u(10);

q = [ q1;q2 ];

e1 = qd1 - q1;
e2 = qd2 - q2;
de1 = d_qd1 - d_q1;
de2 = d_qd2 - d_q2;
e = [ e1;e2 ];
de = [ de1;de2 ];
r = de + Fai * e;

qd = [ qd1;qd2 ];
dqd = [ d_qd1;d_qd2 ];
dqr = dqd + Fai * e;
ddqd = [ dd_qd1;dd_qd2 ];
ddqr = ddqd + Fai * de;

z1 = [ e(1);de(1);qd(1);dqd(1);ddqd(1) ];
z2 = [ e(2);de(2);qd(2);dqd(2);ddqd(2) ];
for j = 1:1:node
    h1(j) = exp( - norm(z1 - c(:,j))^2/(b*b));
    h2(j) = exp( - norm(z2 - c(:,j))^2/(b*b));
end

F = 1.5 * eye(node);

for i = 1:1:node
    sys(i) = 1.5 * h1(i) * r(1);
    sys(i + node) = 1.5 * h2(i) * r(2);
end

function sys = mdlOutputs(t,x,u)
global node c b Fai

qd1 = u(1);
d_qd1 = u(2);
dd_qd1 = u(3);
qd2 = u(4);
d_qd2 = u(5);
dd_qd2 = u(6);

```

```

q1 = u(7);
d_q1 = u(8);
q2 = u(9);
d_q2 = u(10);

q = [ q1;q2 ];

e1 = qd1 - q1;
e2 = qd2 - q2;
de1 = d_qd1 - d_q1;
de2 = d_qd2 - d_q2;
e = [ e1;e2 ];
de = [ de1;de2 ];
r = de + Fai * e;

qd = [ qd1;qd2 ];
dqd = [ d_qd1;d_qd2 ];
dqr = dqd + Fai * e;
ddqd = [ dd_qd1;dd_qd2 ];
ddqr = ddqd + Fai * de;

z = [ e;de;qd;dqd;ddqd ];
W_f1 = [ x(1:node) ]';
W_f2 = [ x(node + 1:node * 2) ]';

z1 = [ e(1);de(1);qd(1);dqd(1);ddqd(1) ];
z2 = [ e(2);de(2);qd(2);dqd(2);ddqd(2) ];
for j = 1:1:node
    h1(j) = exp( - norm(z1 - c(:,j))^2/(b * b));
    h2(j) = exp( - norm(z2 - c(:,j))^2/(b * b));
end

fn = [ W_f1 * h1 ';
        W_f2 * h2' ];
Kv = 20 * eye(2);

epN = 0.20;
bd = 0.1;
v = - (epN + bd) * sign(r);
tol = fn + Kv * r - v;
fn_norm = norm(fn);

sys(1) = tol(1);
sys(2) = tol(2);
sys(3) = fn_norm;

```

(4) 被控对象子程序：chap3_2plant.m

```
function [ sys,x0,str,ts] = s_function(t,x,u,flag)
```

```

switch flag,
case 0,
    [sys,x0,str,ts] = mdlInitializeSizes;
case 1,
    sys = mdlDerivatives(t,x,u);
case 3,
    sys = mdlOutputs(t,x,u);
case {2, 4, 9 }
    sys = [];
otherwise
    error(['Unhandled flag = ',num2str(flag)]);
end
function [sys,x0,str,ts] = mdlInitializeSizes
global p g
sizes = simsizes;
sizes.NumContStates = 4;
sizes.NumDiscStates = 0;
sizes.NumOutputs = 5;
sizes.NumInputs = 3;
sizes.DirFeedthrough = 0;
sizes.NumSampleTimes = 0;
sys = simsizes(sizes);
x0 = [0.09 0 -0.09 0];
str = [];
ts = [];

p = [2.9 0.76 0.87 3.04 0.87];
g = 9.8;
function sys = mdlDerivatives(t,x,u) % From Ge book program
global p g

M = [p(1) + p(2) + 2 * p(3) * cos(x(3)) p(2) + p(3) * cos(x(3));
      p(2) + p(3) * cos(x(3)) p(2)];
V = [-p(3) * x(4) * sin(x(3)) - p(3) * (x(2) + x(4)) * sin(x(3));
      p(3) * x(2) * sin(x(3)) 0];
G = [p(4) * g * cos(x(1)) + p(5) * g * cos(x(1) + x(3));
      p(5) * g * cos(x(1) + x(3))];
dq = [x(2);x(4)];
F = 0.2 * sign(dq);
told = [0.1 * sin(t);0.1 * sin(t)];

tol = u(1:2);

S = inv(M) * (tol - V * dq - G - told);

sys(1) = x(2);
sys(2) = S(1);
sys(3) = x(4);
sys(4) = S(2);
function sys = mdlOutputs(t,x,u)
global p g

```

```

M = [ p(1) + p(2) + 2 * p(3) * cos(x(3)) p(2) + p(3) * cos(x(3));
      p(2) + p(3) * cos(x(3)) p(2) ];
V = [ - p(3) * x(4) * sin(x(3)) - p(3) * (x(2) + x(4)) * sin(x(3));
      p(3) * x(2) * sin(x(3)) 0 ];
G = [ p(4) * g * cos(x(1)) + p(5) * g * cos(x(1) + x(3));
      p(5) * g * cos(x(1) + x(3)) ];
dq = [ x(2);x(4) ];
F = 0.2 * sign(dq);
told = [ 0.1 * sin(t);0.1 * sin(t) ];

qd1 = sin(t);
d_qd1 = cos(t);
dd_qd1 = - sin(t);
qd2 = sin(t);
d_qd2 = cos(t);
dd_qd2 = - sin(t);
qd1 = 0.1 * sin(t);
d_qd1 = 0.1 * cos(t);
dd_qd1 = - 0.1 * sin(t);
qd2 = 0.1 * sin(t);
d_qd2 = 0.1 * cos(t);
dd_qd2 = - 0.1 * sin(t);

q1 = x(1);
d_q1 = dq(1);
q2 = x(3);
d_q2 = dq(2);
q = [ q1;q2 ];
e1 = qd1 - q1;
e2 = qd2 - q2;
de1 = d_qd1 - d_q1;
de2 = d_qd2 - d_q2;
e = [ e1;e2 ];
de = [ de1;de2 ];
Fai = 5 * eye(2);
dq = [ d_qd1;d_qd2 ];
dqr = dq + Fai * e;
ddq = [ dd_qd1;dd_qd2 ];
ddqr = ddq + Fai * de;
f = M * ddqr + V * dqr + G + F;
f_norm = norm(f);

sys(1) = x(1);
sys(2) = x(2);
sys(3) = x(3);
sys(4) = x(4);
sys(5) = f_norm;

```

(5) 绘图子程序：chap3_2plot.m

```
close all;
```

```
figure(1);
subplot(211);
plot(t,x1(:,1),'r',t,x1(:,2),'b');
xlabel('time(s)');ylabel('position tracking for link 1');
subplot(212);
plot(t,x2(:,1),'r',t,x2(:,2),'b');
xlabel('time(s)');ylabel('position tracking for link 2');

figure(2);
subplot(211);
plot(t,dx1(:,1),'r',t,dx1(:,2),'b');
xlabel('time(s)');ylabel('speed tracking for link 1');
subplot(212);
plot(t,dx2(:,1),'r',t,dx2(:,2),'b');
xlabel('time(s)');ylabel('speed tracking for link 2');

figure(3);
subplot(211);
plot(t,tol1(:,1),'r');
xlabel('time(s)');ylabel('control input of link 1');
subplot(212);
plot(t,tol2(:,1),'r');
xlabel('time(s)');ylabel('control input of link 2');

figure(4);
plot(t,f(:,1),'r',t,f(:,2),'b');
xlabel('time(s)');ylabel('f and fn');
```

参 考 文 献

- [1] J. Park, I. W. Sandberg. Universal Approximation Using Radial Basis Function Networks[J]. Neural Computation, 1991, 3(2): 246-257.
- [2] 刘金琨. RBF 神经网络自适应控制 MATLAB 仿真. 北京: 清华大学出版社, 2014.
- [3] Lewis F L, Liu K, Yesildirek A. Neural Net Robot Controller with Guaranteed Tracking Performance. IEEE Transactions on Neural Networks, 1995, 6(3): 703-715.